

1T1	aTSE752 35/0.40 U ₂ = 231/400 V S _r = 400 kVA I _k " = 9.50 kA Parametry VN sítě : S _k = 500 MVA, X/R = 10 I _n = 577 A u _k = 6 % i _p = 20.7 kA dU = 0.9 %	
1F3	PHNA2 250A qG I _n = 250 A I _l = 120 kA Připojeno pomocí SPF2 io = 17.1 kA Z _s (0,4s) = 79 mΩ, I _a = 2.92 kA, R(50V/5s) = 31 mΩ	
1L5	1-AYKY 3x240+120 I _z = 332 A t _m = 38 ° C (I _k " = 8.71 kA) 20 m v zemi (D) dU = 0.2 % I _{2t} < k _{2S2} io = 16.6 kA O.K. Z _{sv} < Z _s (0,4s) (30.3 mΩ < 79.0 mΩ, 2/3 Z _s = 52.7 mΩ) Teplota okolí [st. C] : 20 Měrný tepelný odpor [K.m ² /W] : 1.0 = mírně zvlhlá půda Uspořádání seskupených obvodů : 1 x přímo v zemi	
HDS	PHNA2 200A qG I _n = 200 A I _l = 120 kA Připojeno pomocí SPF2 io = 11.9 kA Z _s (0,4s) = 109 mΩ, I _a = 2.11 kA, R(50V/5s) = 50 mΩ 1F3-HDS selektivní minimálně do 4.9 kA < I _k " = 8.71 kA	
1L9	1-AYKY 3x240+120 I _z = 332 A t _m = 38 ° C (I _k " = 7.67 kA) 30 m v zemi (D) dU = 0.3 % I _{2t} < k _{2S2} io = 11.4 kA O.K. Z _{sv} < Z _s (0,4s) (41.1 mΩ < 109 mΩ, 2/3 Z _s = 72.9 mΩ) Teplota okolí [st. C] : 20 Měrný tepelný odpor [K.m ² /W] : 1.0 = mírně zvlhlá půda Uspořádání seskupených obvodů : 1 x přímo v zemi	
ER	BD250NE305 + SE-BD-0250-DTV3 I _n = 250 A I _r = 200 A I _{cu} = 36 kA I _r = 200 A, restart = T(t), I _i = 4xI _r io = 10.8 kA Z _s (0,4s) = 261 mΩ, I _a = 885 A, R(50V/5s) = 56 mΩ I _{cm} = 75.6 kA HDS-ER selektivní minimálně do 309 A < I _k " = 7.67 kA	
1L13	1-AYKY 3x240+120 I _z = 248 A t _m = 57 ° C (I _k " = 6.80 kA) 30 m v zemi (D) dU = 0.3 % I _{2t} < k _{2S2} io = 10.1 kA O.K. Z _{sv} < Z _s (0,4s) (53.4 mΩ < 261 mΩ, 2/3 Z _s = 174 mΩ) Teplota okolí [st. C] : 20 Měrný tepelný odpor [K.m ² /W] : 2.0 = suchá půda, řídké deště Uspořádání seskupených obvodů : 1 x přímo v zemi	
1F15	PHNA2 160A qG I _n = 160 A I _{cc} = 120 kA Připojeno pomocí FH2 není selektivní!!! io = 9.04 kA Z _s (0,4s) = 155 mΩ, I _a = 1.49 kA, R(50V/5s) = 62 mΩ	
1.25	Vývod P = 210 kW xB = 10°cos φ = 0.95 io = 9.04 kA (I _k " = 6.80 kA, i _p = 11.9 kA) I = 160 A B = 0.5 O.K. Z _{sv} < Z _s (0,4s) (53.4 mΩ < 261 mΩ, 2/3 Z _s = 174 mΩ) U = 393 V (Un - 1.7%)	

Zapojení	Přístroj	Poznámka
1T1	aTSE752 35/0.40 In = 577 A Sr = 400 kVA Ik'' = 9.50 kA U2 = 231/400 V dU = 0.9 % uk = 6 % ip = 20.7 kA	
1F3	PHNA2qG In = 250 A I1 = 120 kA io = 17.1 kA	Připojeno pomocí SPF2
1L5	1-AYKY 3x240+120 Iz = 332 A tm = 38 ° C (Ik'' = 8.71 kA) 20 m v zemi (D) dU = 0.2 % I ² t < k ² S ² io = 16.6 kA	
HDS	PHNA2qG In = 200 A I1 = 120 kA 1F3-HDS selektivní minimálně do 4.9 kA < Ik'' = 8.71 kA	Připojeno pomocí SPF2
1L9	1-AYKY 3x240+120 Iz = 332 A tm = 38 ° C (Ik'' = 7.67 kA) 30 m v zemi (D) dU = 0.3 % I ² t < k ² S ² io = 11.4 kA	
ER	BD250N-DTV3 In = 250 A Ir = 200 A Icm = 75.6 kA Ir = 200 A, restart = T(t), li = 4xlr HDS-ER selektivní minimálně do 309 A < Ik'' = 7.67 kA	
1L13	1-AYKY 3x240+120 Iz = 248 A tm = 57 ° C (Ik'' = 6.80 kA) 30 m v zemi (D) dU = 0.3 % I ² t < k ² S ² io = 10.1 kA	
1F15	PHNA2qG In = 160 A Icc = 120 kA není selektivní!!! io = 9.04 kA	Připojeno pomocí FH2
1.25	Vývod P = 210 kW xB = 105 kW/cos fi = 0.95 (Ik'' = 6.80 kA, ip = 11.9 kA) I = 160 A U = 393 V (Un · 1.7%) B = 0.5 io = 9.04 kA	

Zapojení	Přístroj	Poznámka
1T1	aTSE752 35/0.40 $I_n = 577 \text{ A}$ $S_r = 400 \text{ kVA}$ $I_k'' = 9.50 \text{ kA}$ $U_2 = 231/400 \text{ V}$ $dU = 0.9 \%$	
1F3	PHNA2qG $I_n = 250 \text{ A}$ $I_l = 120 \text{ kA}$ Připojeno pomocí SPF2 $Z_s(0.4s) = 79 \text{ m}\Omega$, $I_a = 2.92 \text{ kA}$, $R(50V/5s) = 31 \text{ m}\Omega$	
1L5	1-AYKY 3x240+120 $I_z = 332 \text{ A}$ $t_m = 38^\circ \text{ C}$ ($I_k'' = 8.71 \text{ kA}$) O.K. $Z_{sv} < Z_s(0.4s)$ ($30.3 \text{ m}\Omega < 79.0 \text{ m}\Omega$, $2/3 Z_s = 52.7 \text{ m}\Omega$) 20 m, (D) $dU = 0.2 \%$ $I^2 t < k^2 S^2$ $i_o = 16.6 \text{ kA}$	
HDS	PHNA2qG $I_n = 200 \text{ A}$ $I_l = 120 \text{ kA}$ Připojeno pomocí SPF2 $Z_s(0.4s) = 109 \text{ m}\Omega$, $I_a = 2.11 \text{ kA}$, $R(50V/5s) = 50 \text{ m}\Omega$	
1L9	1-AYKY 3x240+120 $I_z = 332 \text{ A}$ $t_m = 38^\circ \text{ C}$ ($I_k'' = 7.67 \text{ kA}$) O.K. $Z_{sv} < Z_s(0.4s)$ ($41.1 \text{ m}\Omega < 109 \text{ m}\Omega$, $2/3 Z_s = 72.9 \text{ m}\Omega$) 30 m, (D) $dU = 0.3 \%$ $I^2 t < k^2 S^2$ $i_o = 11.4 \text{ kA}$	
ER	BD250N-DTV3 $I_n = 250 \text{ A}$ $I_r = 200 \text{ A}$ $I_{cm} = 75.6 \text{ kA}$ $I_r = 200 \text{ A}$, restart = T(t), $I_i = 4 \times I_r$ $Z_s(0.4s) = 261 \text{ m}\Omega$, $I_a = 885 \text{ A}$, $R(50V/5s) = 56 \text{ m}\Omega$	
1L13	1-AYKY 3x240+120 $I_z = 248 \text{ A}$ $t_m = 57^\circ \text{ C}$ ($I_k'' = 6.80 \text{ kA}$) O.K. $Z_{sv} < Z_s(0.4s)$ ($53.4 \text{ m}\Omega < 261 \text{ m}\Omega$, $2/3 Z_s = 174 \text{ m}\Omega$) 30 m, (D) $dU = 0.3 \%$ $I^2 t < k^2 S^2$ $i_o = 10.1 \text{ kA}$	
1F15	PHNA2qG $I_n = 160 \text{ A}$ $I_{cc} = 120 \text{ kA}$ Připojeno pomocí FH2 $Z_s(0.4s) = 155 \text{ m}\Omega$, $I_a = 1.49 \text{ kA}$, $R(50V/5s) = 62 \text{ m}\Omega$	
1.25	Vývod $P = 210 \text{ kW}$ $x_B = 105 \text{ kW}/\cos \phi_i = 0.95$ O.K. $Z_{sv} < Z_s(0.4s)$ ($53.4 \text{ m}\Omega < 261 \text{ m}\Omega$, $2/3 Z_s = 174 \text{ m}\Omega$) $I = 160 \text{ A}$ $U = 393 \text{ V}$ ($U_n \cdot 1.7\%$) $B = 0.5$ $i_o = 9.04 \text{ kA}$	

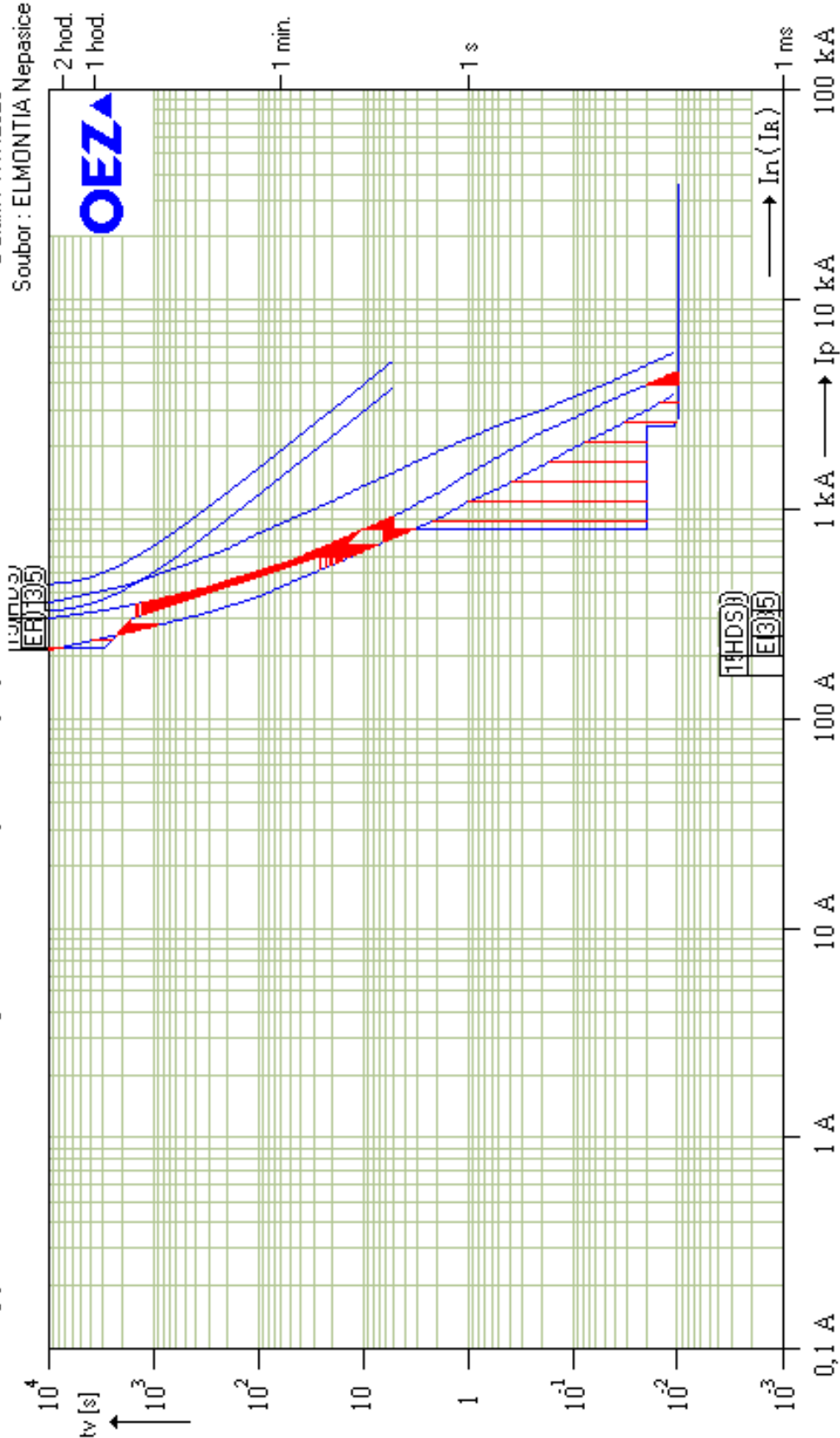
Zapojení	Přístroj	Poznámka
1T1	aTSE752 35/0.40 $I_n = 577 \text{ A}$ $S_r = 400 \text{ kVA}$ $I_k'' = 9.50 \text{ kA}$ $U_2 = 231/400 \text{ V}$ $dU = 0.9 \%$ $u_k = 6 \%$ $i_p = 20.7 \text{ kA}$	
1F3	PHNA2qG $I_n = 250 \text{ A}$ $I_l = 120 \text{ kA}$ $i_o = 17.1 \text{ kA}$	Připojeno pomocí SPF2
1L5	1-AYKY 3x240+120 $I_z = 332 \text{ A}$ $t_m = 38^\circ \text{ C}$ $(I_k'' = 8.71 \text{ kA})$ 20 m v zemi (D) $dU = 0.2 \%$ $I^2 t < k^2 S^2$ $i_o = 16.6 \text{ kA}$	
HDS	PHNA2qG $I_n = 200 \text{ A}$ $I_l = 120 \text{ kA}$ $i_o = 11.9 \text{ kA}$	Připojeno pomocí SPF2
1L9	1-AYKY 3x240+120 $I_z = 332 \text{ A}$ $t_m = 38^\circ \text{ C}$ $(I_k'' = 7.67 \text{ kA})$ 30 m v zemi (D) $dU = 0.3 \%$ $I^2 t < k^2 S^2$ $i_o = 11.4 \text{ kA}$	
ER	BD250N-DTV3 $I_n = 250 \text{ A}$ $I_r = 200 \text{ A}$ $I_{cm} = 75.6 \text{ kA}$ $I_r = 200 \text{ A}$, restart = T(t), $I_i = 4 \times I_r$ $i_o = 10.8 \text{ kA}$	
1L13	1-AYKY 3x240+120 $I_z = 248 \text{ A}$ $t_m = 57^\circ \text{ C}$ $(I_k'' = 6.80 \text{ kA})$ 30 m v zemi (D) $dU = 0.3 \%$ $I^2 t < k^2 S^2$ $i_o = 10.1 \text{ kA}$	
1F15	PHNA2qG $I_n = 160 \text{ A}$ $I_{cc} = 120 \text{ kA}$ $i_o = 9.04 \text{ kA}$	Připojeno pomocí FH2
1.25	Vývod $P = 210 \text{ kW}$ $x_B = 105 \text{ kW}/\cos \phi_i = 0.95$ $(I_k'' = 6.80 \text{ kA}, i_p = 11.9 \text{ kA})$ $I = 160 \text{ A}$ $U = 393 \text{ V}$ ($U_n \cdot 1.7\%$) $B = 0.5$ $i_o = 9.04 \text{ kA}$	

Projekt : ELMONTIA Nepasice

Vypínací charakteristiky - selektivita jištění - paprsek 1

Datum : 17.7.2020

Soubor : ELMONTIA Nepasice

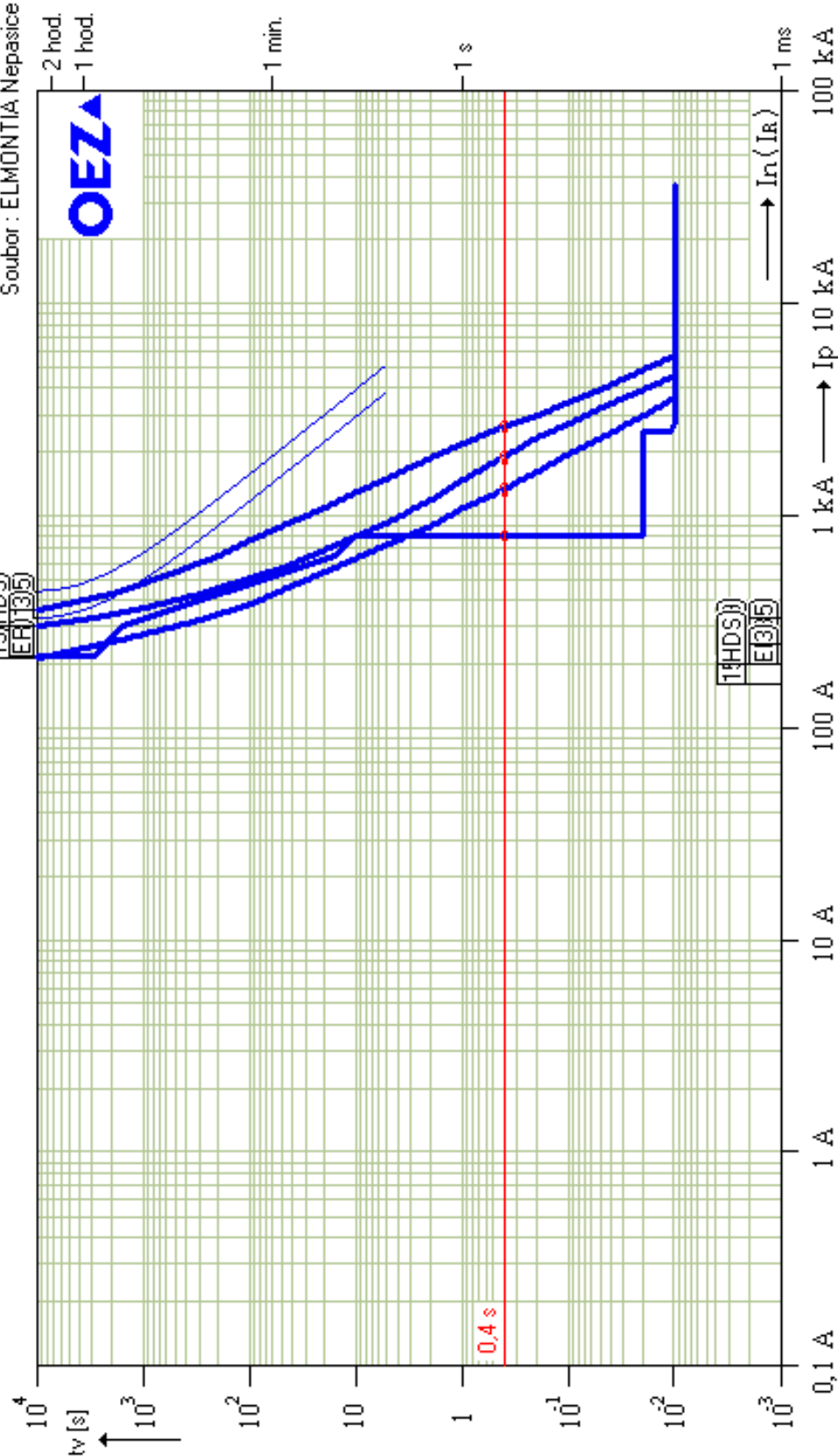


Projekt : ELMONTIA Nepasice

Vypínací charakteristiky - impedanční smyčky - paprsek 1

Datum : 17.7.2020

Soubor : ELMONTIA Nepasice



Projekt : ELMONTIA Nepasice
 Vypínací charakteristiky - paprsek 1

Datum : 17.7.2020
 Soubor : ELMONTIA Nepasice

